

МИНИСТЕРСТВО ОБРАЗОВАНИЯ И НАУКИ
РОССИЙСКОЙ ФЕДЕРАЦИИ
ФЕДЕРАЛЬНОЕ ГОСУДАРСТВЕННОЕ АВТОНОМНОЕ
ОБРАЗОВАТЕЛЬНОЕ УЧРЕЖДЕНИЕ ВЫСШЕГО ОБРАЗОВАНИЯ
«САМАРСКИЙ НАЦИОНАЛЬНЫЙ ИССЛЕДОВАТЕЛЬСКИЙ
УНИВЕРСИТЕТ ИМЕНИ АКАДЕМИКА С.П. КОРОЛЕВА»
(Самарский университет)

Институт информатики и кибернетики

Кафедра лазерных и биотехнических систем

Пояснительная записка к курсовому проекту

”Носимый монитор ЭКГ”

Выполнил студент группы 6364-120304D: _____ Репик В.И.

Руководитель проекта: _____ Корнилин Д.В.

Работа защищена с оценкой: _____

Самара 2023

ЗАДАНИЕ

Разработать монитор активности и отслеживания падений со следующими параметрами:

- Амплитуда сигнала от 0.5 мВ до 4 мВ;
- Диапазон частот 0.05 Гц до 40 Гц;
- Погрешность регистрации амплитуды и частоты 1%;
- Передача данных по интерфейсу Bluetooth;
- Предусмотреть возможность сохранения данных на встроенном носителе в течение суток;
- Питание батарейное;

РЕФЕРАТ

Пояснительная записка: 20 страниц, 8 рисунков, источников, 1 приложение.

НОСИМЫЙ МОНИТОР ЭКГ, МИКРОКОНТРОЛЛЕР, BLUETOOTH, STM32WB, АЛГОРИТМ, ADS1293

В курсовом проекте разработаны структурная и принципиальная схемы монитора ЭКГ, с использованием интегральной AFE микросхемы ADS1293. Был осуществлен выбор микроконтроллера со встроенным блоком Bluetooth. Разработан алгоритм анализа данных и программа на языке Си, реализующая его.

СОДЕРЖАНИЕ

1	РАЗРАБОТКА СТРУКТУРНОЙ СХЕМЫ УСТРОЙСТВА	6
2	РАЗРАБОТКА ПРИНЦИПИАЛЬНОЙ СХЕМЫ УСТРОЙСТВА . . .	8
2.1	Разработка(надо придумать заголовок)	8
2.2	Выбор микроконтроллера	12
2.3	Выбор аккумулятора	15
3	РАЗРАБОТКА ПРОГРАММЫ	17
	ЗАКЛЮЧЕНИЕ	18
	СПИСОК ИСПОЛЬЗОВАННЫХ ИСТОЧНИКОВ	19
	ОПРЕДЕЛЕНИЯ, ОБОЗНАЧЕНИЯ И СОКРАЩЕНИЯ	20

ВВЕДЕНИЕ

Автоматизация различных процессов на базе интеллектуальных систем невозможна в современном мире без использования устройств такого типа, как микроконтроллер. Многофункциональные, компактные микроконтроллеры применяются во многих современных приборах, бытовом оборудовании, прочих инженерно-технических объектах, а также в медицинской диагностике.

Согласно статистике сердечно-сосудистые заболеваний являются причиной смерти 17,9 млн человек в год. Именно поэтому мониторинг и диагностика состояния сердечно-сосудистой системы человека является такой важной задачей. Самым простым методом диагностики является ЭКГ.

В данном курсовом проекте рассматривается проектирование носимого монитора ЭКГ, автономной системы, позволяющий вести непрерывный мониторинг показателей сердечно-сосудистой системы человека. В процессе проектирования были выбраны микросхема ADS1293 и микроконтроллер STM32WB55RCV6 со встроенным модулем Bluetooth, а также была написана программа управления на языке Си.

1 РАЗРАБОТКА СТРУКТУРНОЙ СХЕМЫ УСТРОЙСТВА

Структурная схема устройства представлена на рисунке 1.

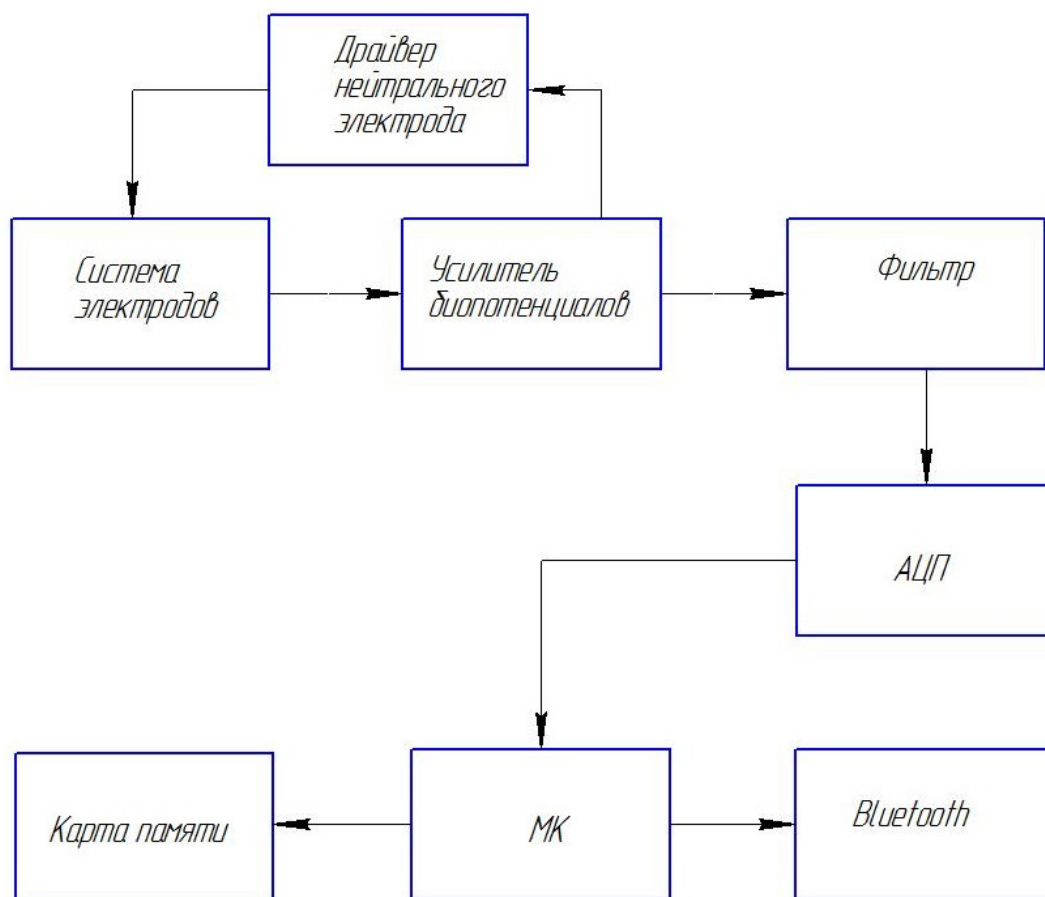


Рисунок 1 – Структурная схема устройства

Принцип работы устройства заключается в следующем.

AFE микросхема ADS1293, производит измерение биопотенциала сердечной мышцы

?? как это по русски записать

Эти данные поступают в микроконтроллер, где они проходят первичную обработку,

Так же, данные передаются по модулю Bluetooth, интегрированному в микроконтроллер. Передача данных запускается по таймеру. На устройстве есть LED-индикатор, который сигнализирует о передаче пакета данных.

Все элементы схемы питаются от литий-полимерного аккумулятора, имеющего номинальное напряжение 3.7 В, и DC-DC преобразователя, встроенного в микроконтроллер, который стабилизирует напряжение до уровня 3.3 В, необходимого всем элементам устройства.

2 РАЗРАБОТКА ПРИНЦИПИАЛЬНОЙ СХЕМЫ УСТРОЙСТВА

Электрическая принципиальная схема представлена в приложении.

2.1 Разработка(надо придумать заголовок)

Для получения кардиосигнала возможны несколько подходов - проектирование собственных схемотехнических решений на основе дискретных компонентов, или использование Analog Front End (AFE) микросхем, например, ADS1293 от Texas Instruments.

Микросхема ADS1293 предназначена для измерения биопотенциалов, в таких медицинских приборах, как портативные электрокардиографы с батарейным питанием, холтеровские мониторы и аппаратура беспроводного мониторинга пациентов. [1]

ADS1293 способна поддерживать от одного до пяти каналов, что позволяет существенно сократить габариты, энергопотребление и полную стоимость масштабируемых измерительных медицинских систем. Каждый канал ADS1293 может быть независимо запрограммирован на работу со специальными (отличными от других) частотой выборки и полосой пропускания.

На основании анализа функциональных возможностей и технических характеристик AFE ADS1293, можно сделать вывод о том, что кроме очевидных преимуществ по габаритам в сравнении с аналоговой частью холтеровских мониторов на дискретных операционных усилителях (ОУ) и аналого-цифровых преобразователях (АЦП), гибридная интегральная схема (ИС) обладает достаточно низким энергопотреблением даже в активном режиме, высоким соотношением сигнал/шум и достаточным динамическим диапазоном для решения задач холтеровского мониторинга. Как следствие высокой интеграции аналоговой части и АЦП, а так же цифровой подсистемы первичной обработки квантованного сигнала использование AFE позволило существенно упростить схемные решения монитора ЭКГ, уменьшить габариты и

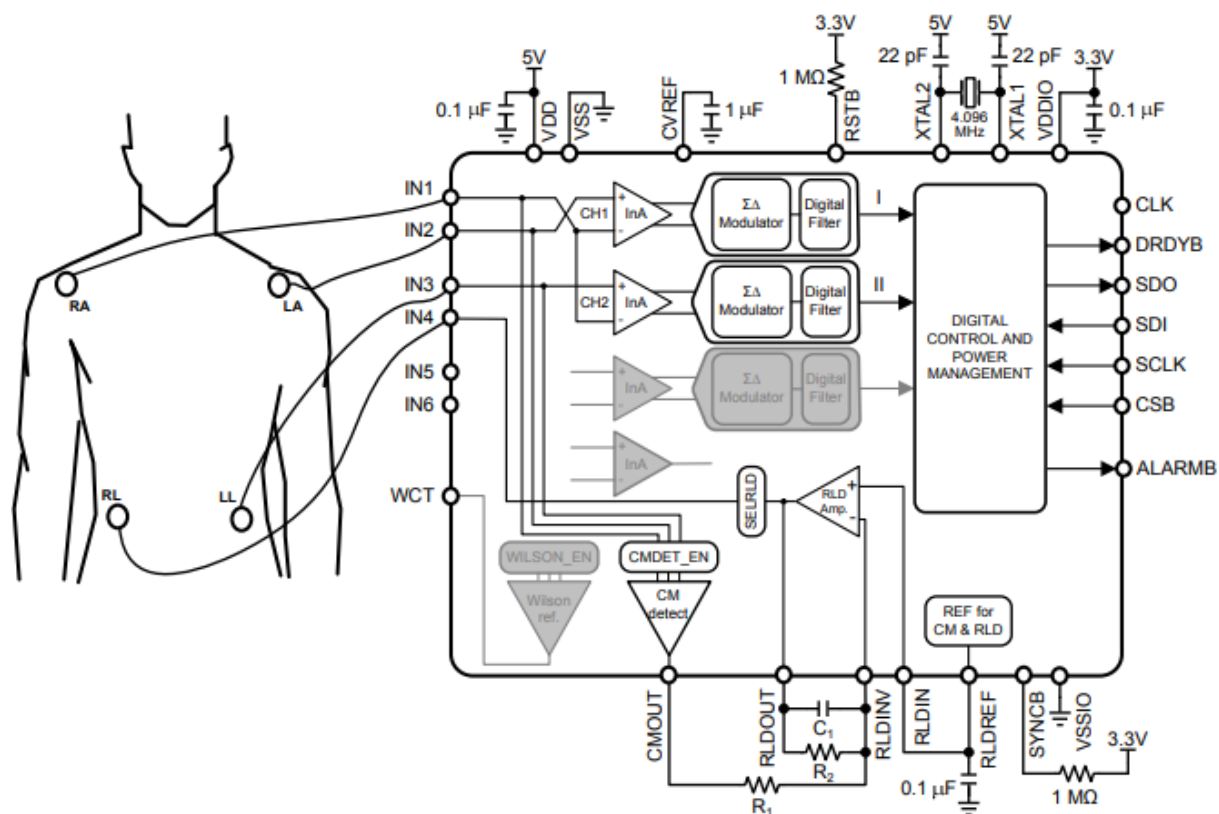


Figure 32. 3-Lead ECG Application

Рисунок 3 – Трехэлектродная схема включения

Нумерация и назначение выводов ADS1293 приведены ниже (рисунки 4, 5).

CONNECTION DIAGRAM

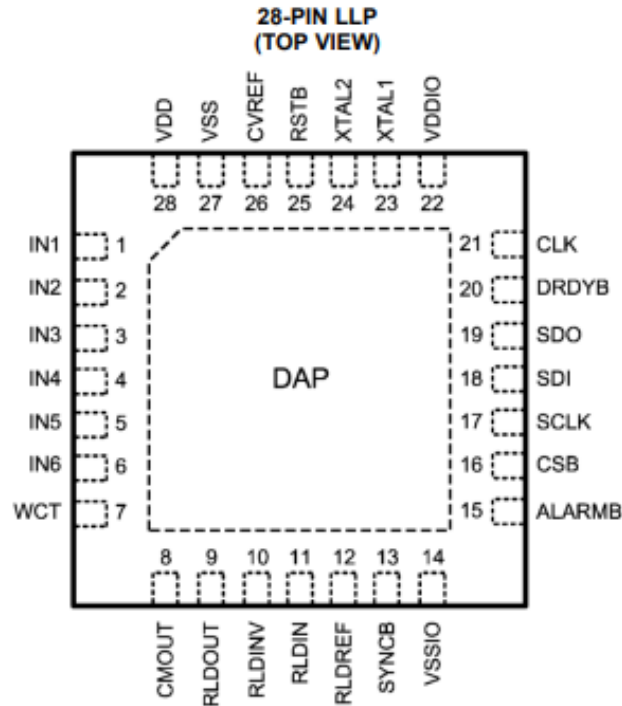


Рисунок 4 – Нумерация выводов

Table 2. Pin Descriptions

PIN		TYPE	FUNCTION
NO.	NAME		
1 - 6	IN1 - IN6	Analog Input	Electrode input signals
7	WCT	Analog Output	Wilson reference output or analog pace channel output
8	CMOUT	Output	Common-mode detector output
9	RLDOUT	Analog Output	Right leg drive amplifier output
10	RLDINV	Analog Input	Right leg drive amplifier negative input
11	RLDIN	Analog I/O	Right leg drive amplifier positive input or analog pace channel output
12	RLDREF	Analog Output	Internal right leg drive reference
13	SYNCB	Digital I/O	Sync bar; multiple-chip synchronization signal input or output
14	VSSIO	Digital Supply	Digital input/output supply ground
15	ALARMB	Digital Output	Alarm bar
16	CSB	Digital Input	Chip select bar
17	SCLK	Digital Input	Serial clock
18	SDI	Digital Input	Serial data input
19	SDO	Digital Output	Serial data output
20	DRDYB	Digital Output	Data ready bar
21	CLK	Digital I/O	Internal clock output or external clock input
22	VDDIO	Digital Supply	Digital input/output supply
23	XTAL1	Digital Input	External crystal for clock oscillator
24	XTAL2	Digital Input	External crystal for clock oscillator
25	RSTB	Digital Input	Reset bar
26	CVREF	Analog I/O	External cap for internal reference voltage
27	VSS	Analog Supply	Power supply ground
28	VDD	Analog Supply	Positive power supply
	DAP		No connect

Рисунок 5 – Назначение выводов

2.2 Выбор микроконтроллера

С учетом технического задания микроконтроллер должен обладать следующими свойствами:

- Интерфейс для работы с микросхемой ADS1293: SPI;
- Интерфейс для работы с внешней флеш-памятью: SPI или I^2C ;
- Для передачи данных по Bluetooth: встроенный стек протокола Bluetooth;
- Малое энергопотребление;
- Свободные выходы для подключения индикатора и выходов прерываний от ADS1293;

Для решения задачи был выбран микроконтроллер STM32WB55RCV6 фирмы ST Microelectronics [3]. STM32WB55 содержит два производительных ядра ARM-Cortex:

- ядро ARM® -Cortex® M4 (прикладное), работающее на частотах до 64 МГц, для пользовательских задач имеется модуль управления памятью, модуль плавающей точки, инструкции ЦОС (цифровой обработки сигналов), графический ускоритель (ART accelerator);
- ядро ARM®-Cortex® M0+ (радиоконтроллер) с тактовой частотой 32 МГц, управляющее радиотрактом и реализующее низкоуровневые функции сетевых протоколов;

Данный микроконтроллер включает в себя все необходимые периферийные устройства, такие как интерфейсы передачи данных SPI, необходимый для подключения к акселерометру, и радиоконтроллер с поддержкой Bluetooth.

Основные характеристики:

- типовое энергопотребление 50 мкА/МГц (при напряжении питания 3 В);
- потребление в режиме останова 1,8 мкА (радиочасть в режиме ожидания (standby));

- потребление в выключенном состоянии (Shutdown) менее 50 нА;
- диапазон допустимых напряжений питания 1,7...3,6 В (встроенный DC-DC–преобразователь и LDO-стабилизатор);
- рабочий температурный диапазон -40...105°C.

Структурная схема микроконтроллера приведена на рисунке 6, а назначение выводов портов корпуса на рисунке 7.

Figure 2. STM32WB35xx block diagram

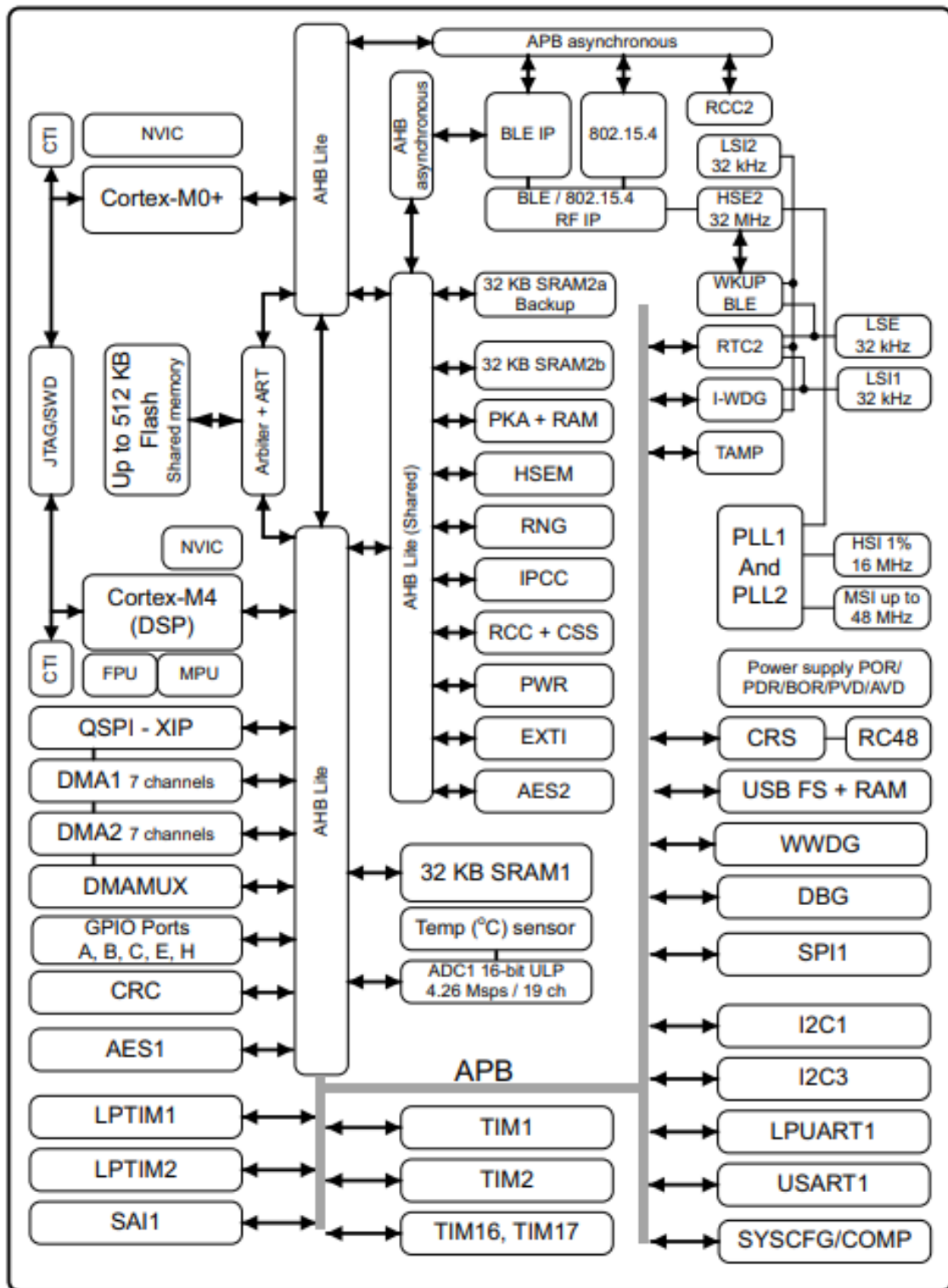


Рисунок 6 – Структурная схема

Pin diagram of the VFQFPN68 package. The package is a square with pins numbered 1 to 68. The pins are arranged in four rows of 17 pins each. The top row (pins 1-17) includes VBAT, PC13, PC14-OSC32_IN, PC15-OSC32_OUT, PH3-BOOT0, PB8, PB9, NRST, PC0, PC1, PC2, PC3, VREF+, VDDA, PA0, PA1, and PA2. The bottom row (pins 18-34) includes PA3, PA4, PA5, PA6, PA7, PA8, PA9, PA10, PA11, PA12, PA13, PA14, PA15, PA16, PA17, and PA18. The left side (pins 35-51) includes PA19, PA20, PA21, PA22, PA23, PA24, PA25, PA26, PA27, PA28, PA29, PA30, PA31, PA32, PA33, and PA34. The right side (pins 52-68) includes PA35, PA36, PA37, PA38, PA39, PA40, PA41, PA42, PA43, PA44, PA45, PA46, PA47, PA48, PA49, PA50, PA51, PA52, PA53, PA54, PA55, PA56, PA57, PA58, PA59, PA60, PA61, PA62, PA63, PA64, PA65, PA66, PA67, PA68, and PA69.

Подключение будет осуществляться согласно типовой схеме из Application note [4](рисунок 8).

The figure shows the PCB layout of the STM32WBxx-QFN68. It includes four sub-diagrams: 1. Top-left: Pin connections for CN1 (CN1-1 to CN1-13) and CN2 (CN2-1 to CN2-13). 2. Top-right: Pin connections for CN1 (CN1-1 to CN1-13) and CN2 (CN2-1 to CN2-13). 3. Bottom-left: Power supply and ground connections for VDD, VDDUSB, VDDA, and VREF. 4. Bottom-right: Signal connections for UART, I2C, and SPI.

2.3 Выбор аккумулятора

15

ную емкость 310 мАч, номинальное напряжение 3,7 В, вес 8г. Длина: 50 ± 1 мм. Ширина: 33 ± 1 мм. Толщина: $2,3\pm 1$ мм.

Так как в микроконтроллере есть встроенный DC-DC преобразователь, внешний можно не ставить, напрямую подключив положительный электрод аккумулятора к выводу микроконтроллера "VBAT". Внутренний DC-DC преобразователь стабилизирует напряжение на выводе "VDD" на уровне 3.3В, необходимого для питания всех элементов схемы.

3 РАЗРАБОТКА ПРОГРАММЫ

Для работы программы необходимо для начала разработать алгоритм. Алгоритм нашего устройства представлен на

ЗАКЛЮЧЕНИЕ

СПИСОК ИСПОЛЬЗОВАННЫХ ИСТОЧНИКОВ

1 Беляев, А. О. Анализ аналоговых характеристик микросхемы ADS1293 для применения в медицинской технике / А. О. Беляев, В. В. Кириенко // Инженерный вестник Дона. – 2014. – № 3(30). – С. 67. – EDN TFXFTD

2 Data Sheet на AFE микросхему ADS1293 [Электронный ресурс]. URL:<https://radioaktiv.ru/ds/ti/snas602b.pdf> (Дата обращения: 6.05.2023)

3 Data Sheet на микроконтроллер STM32WB55CCU6 [Электронный ресурс]. URL:<https://www.st.com/resource/en/datasheet/stm32wb55cc.pdf> (Дата обращения: 10.05.2023)

4 Application note на микроконтроллеры серии STM32WB [Электронный ресурс]. URL:https://www.st.com/resource/en/application_note/an5165-development-of-rf-hardware-using-stm32wb-microcontrollers-stmicroelectronics.pdf (Дата обращения: 11.05.2023)

5 Спецификация на Li-pol аккумулятор LP-310-233350 [Электронный ресурс]. URL:<https://static.chipdip.ru/lib/412/DOC005412828.pdf> (Дата обращения: 11.05.2023)

ОПРЕДЕЛЕНИЯ, ОБОЗНАЧЕНИЯ И СОКРАЩЕНИЯ

AFE	– Analog Front End	8
SPI	– Serial Peripheral Interface	9
АЦП	– Аналого-цифровой преобразователь	8
ИС	– интегральная схема	8
ОУ	– операционный усилитель	8
ЭКГ	– электрокардиограмма	8